

01;10

## К ТЕОРИИ ФОКУСИРОВКИ ПУЧКОВ ЗАРЯЖЕННЫХ ЧАСТИЦ В ДВУМЕРНОМ ЭЛЕКТРОСТАТИЧЕСКОМ ПОЛЕ СО СРЕДНЕЙ ПЛОСКОСТЬЮ. I

© Л.Г.Гликман, Ю.В.Голоскоков, С.П.Карецкая

Институт ядерной физики АН Казахстана,

480082 Алма-Ата, Казахстан

(Поступило в Редакцию 16 декабря 1994 г.

В окончательной редакции 18 декабря 1995 г.)

Исследованы свойства времяпролетной фокусировки пучков заряженных частиц в двумерном электростатическом поле со средней плоскостью. Получены простые аналитические соотношения, связывающие между собой коэффициенты разложений времени пролета частицы и ее координаты в ряды по малым параметрам. Найдены условия устранения различных видов времяпролетных аберраций.

Рассмотрим движение заряженных частиц в электростатическом поле, описываемом в декартовой системе координат  $X, Y, Z$  потенциалом  $\varphi = \varphi(X, Z)$ . Будем считать, что потенциал симметричен относительно плоскости  $Z = 0$  (средняя плоскость) и движение заряженных частиц происходит вблизи нее. Криволинейная осевая траектория пучка лежит в этой плоскости. Введем также криволинейную ортогональную систему координат  $x, y, s$  ось  $s$  которой совместим с осевой траекторией пучка и направим в сторону движения частиц, ось  $x$  расположим в средней плоскости. Условимся, что положительное направление оси  $x$  получается при повороте касательной к осевой траектории на  $90^\circ$  против часовой стрелки. Ось  $y$  направим так, чтобы система координат была правой. Координата  $s$  определяет положение точки на осевой траектории ( $s = 0$  — предметная плоскость),  $x(s)$  и  $y(s)$  — координаты произвольной траектории пучка в плоскости, нормальной к осевой траектории в этой точке (рис. 1).

Время пролета частицы, движущейся в рассматриваемом поле по произвольной траектории, найдем, воспользовавшись постоянством составляющей скорости, соответствующей циклической координате  $Y$ ,

$$\frac{dY^*}{dt} = B. \quad (1)$$

Здесь  $t$  — время; звездочкой отмечаются переменные для произвольной траектории;  $B$  — постоянная, которая может быть найдена из

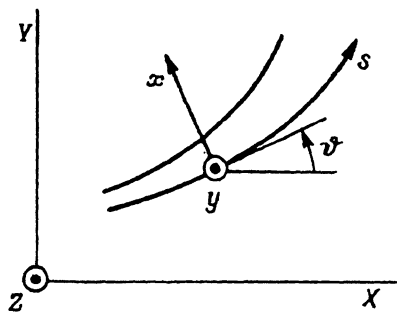


Рис. 1.

начальных условий. Как видно из рис. 1, координаты  $Y = Y(s)$  и  $Y^* = Y^*(s)$  осевой и произвольной траекторий связаны равенством

$$Y^* = Y + x \cos \vartheta, \quad (2)$$

где  $\vartheta = \vartheta(s)$  — угол между осью  $X$  и касательной к осевой траектории.

Он считается положительным при отсчете от оси  $X$  против часовой стрелки. Из соотношений (1) и (2) найдем

$$t - t_0 = \frac{1}{B} (x \cos \vartheta - x_0 \cos \vartheta_0 + Y - Y_0). \quad (3)$$

Индексом 0 отмечаются значения переменных в предметной плоскости. Из последнего равенства следует, что в двумерном поле время пролета заряженной частицы и ее координата  $x(s)$  очень просто связаны между собой. Постоянную  $B$  определим, представив  $dY^*/dt$  в виде

$$\frac{dY^*}{dt} = \left[ \frac{dY^*}{ds} \frac{ds}{ds^*} v^* \right]_0 = B. \quad (4)$$

В предметном пространстве, где  $\varphi = \varphi_0$  и поле отсутствует, выполняются соотношения

$$\left( \frac{ds^*}{ds} \right)_0 = \sqrt{1 + x_0'^2 + y_0'^2}, \quad (5)$$

$$v_0^* = \sqrt{-\frac{2e\varphi_0(1 + \varepsilon_0)}{m^*}} = v_0 \sqrt{\frac{1 + \varepsilon_0}{1 + \gamma}}. \quad (6)$$

Здесь  $m^* = m(1 + \gamma)$  — масса произвольной частицы;  $m$  и  $v_0$  — масса и начальная скорость основной частицы, движущейся по осевой траектории;  $\varepsilon_0$  и  $\gamma$  — относительные отклонения начальной энергии и массы произвольной частицы от основных значений. Штрихами обозначается дифференцирование по  $s$ . Принято следующее условие нормировки потенциала:

$$\frac{mv_0^2}{2} = -e\varphi_0. \quad (7)$$

Подставив (2), (5) и (6) в (4), получим

$$B = \frac{v_0 \sin \vartheta_0 (1 + x'_0 \operatorname{ctg} \vartheta_0) \sqrt{1 + \varepsilon_0}}{\sqrt{(1 + x_0'^2 + y_0'^2)(1 + \gamma)}}. \quad (8)$$

Запишем время пролета произвольной частицы от предметной плоскости  $s = 0$  до некоторой плоскости  $s = \text{const}$  в пространстве изображений. Ограничимся при этом величинами второго порядка относительно малых параметров  $x_0, x'_0, y_0, y'_0, \varepsilon_0$  и  $\gamma$ . Случай прямой оптической оси ( $\vartheta = 0$ ) из рассмотрения исключим. Используем известное представление  $x(s)$

$$x(s) = K_\alpha x'_0 + K_x x_0 + K_\varepsilon \varepsilon_0 + K_{\alpha\alpha} x_0'^2 + K_{\alpha x} x'_0 x_0 + K_{xx} x_0^2 + K_{\beta\beta} y_0'^2 + K_{\beta y} y'_0 y_0 + K_{yy} y_0^2 + K_{\alpha\varepsilon} x'_0 \varepsilon_0 + K_{x\varepsilon} x_0 \varepsilon_0 + K_{\varepsilon\varepsilon} \varepsilon_0^2 + \dots, \quad (9)$$

где коэффициенты являются функциями от  $s$ .

В двумерном поле коэффициент  $K_{xx}$  всегда равен нулю. Подставив (8) и (9) в (3) и выполнив необходимые разложения по степеням малых параметров, найдем, что в искомом приближении

$$t - t_0 = T + \frac{1}{v_0 \sin \vartheta_0} (\tau_\alpha x'_0 + \tau_x x_0 + \tau_\varepsilon \varepsilon_0 + \tau_\gamma \gamma + \tau_{\alpha\alpha} x_0'^2 + \tau_{\alpha x} x'_0 x_0 + \tau_{\beta\beta} y_0'^2 + \tau_{\beta y} y'_0 y_0 + \tau_{yy} y_0^2 + \tau_{\alpha\varepsilon} x'_0 \varepsilon_0 + \tau_{x\varepsilon} x_0 \varepsilon_0 + \tau_{\varepsilon\varepsilon} \varepsilon_0^2 + \tau_{\alpha\gamma} x'_0 \gamma + \tau_{x\gamma} x_0 \gamma + \tau_{\varepsilon\gamma} \varepsilon_0 \gamma + \tau_{\gamma\gamma} \gamma^2 + \dots). \quad (10)$$

Здесь  $T$  — время пролета основной частицы,

$$T = \frac{b}{v_0 \sin \vartheta_0}, \quad b = Y - Y_0,$$

$$\tau_\alpha = -b \operatorname{ctg} \vartheta_0 + K_\alpha \cos \vartheta_1, \quad \tau_x = K_x \cos \vartheta_1 - \cos \vartheta_0,$$

$$\tau_\varepsilon = -\frac{1}{2}b + K_\varepsilon \cos \vartheta_1, \quad \tau_\gamma = \frac{1}{2}b,$$

$$\tau_{\alpha\alpha} = \frac{1}{2}b(1 + 2 \operatorname{ctg}^2 \vartheta_0) - (K_\alpha \operatorname{ctg} \vartheta_0 - K_{\alpha\alpha}) \cos \vartheta_1,$$

$$\tau_{\alpha x} = \cos \vartheta_0 \operatorname{ctg} \vartheta_0 - (K_x \operatorname{ctg} \vartheta_0 - K_{\alpha x}) \cos \vartheta_1,$$

$$\tau_{\beta\beta} = \frac{1}{2}b + K_{\beta\beta} \cos \vartheta_1, \quad \tau_{\beta y} = K_{\beta y} \cos \vartheta_1, \quad \tau_{yy} = K_{yy} \cos \vartheta_1,$$

$$\tau_{\alpha\varepsilon} = \frac{1}{2}b \operatorname{ctg} \vartheta_0 - \left( \frac{1}{2}K_\alpha + K_\varepsilon \operatorname{ctg} \vartheta_0 - K_{\alpha\varepsilon} \right) \cos \vartheta_1,$$

$$\tau_{x\varepsilon} = \frac{1}{2} \cos \vartheta_0 - \left( \frac{1}{2}K_x - K_{x\varepsilon} \right) \cos \vartheta_1, \quad \tau_{\varepsilon\varepsilon} = \frac{3}{8}b - \left( \frac{1}{2}K_\varepsilon - K_{\varepsilon\varepsilon} \right) \cos \vartheta_1,$$

$$\tau_{\alpha\gamma} = \frac{1}{2}\tau_\alpha, \quad \tau_{x\gamma} = \frac{1}{2}\tau_x, \quad \tau_{\varepsilon\gamma} = \frac{1}{2}\tau_\varepsilon, \quad \tau_{\gamma\gamma} = -\frac{1}{8}b.$$

Через  $\vartheta = \vartheta_1$  обозначен угол выхода пучка из поля  $\varphi_1 \sin^2 \vartheta_1 = \varphi_0 \sin^2 \vartheta_0$ , где  $\varphi_1$  — потенциал пространства изображений.

Таким образом, в двумерном электростатическом поле коэффициенты разложения (10) связаны с соответствующими коэффициентами разложения (9) очень простыми соотношениями. Полученные результаты дополняют общие соотношения [1], справедливые для любой электронно-оптической системы с плоскостью симметрии. В отличие от [1] они позволяют выразить столь важные времяпролетные коэффициенты, как  $\tau_\epsilon$  и  $\tau_{\epsilon\epsilon}$ , через пространственные коэффициенты  $K_\epsilon$  и  $K_{\epsilon\epsilon}$ .

Пространственная фокусировка в двумерном электростатическом поле хорошо изучена. Используем некоторые из результатов работ [2-4]. Известно, что в пространстве изображений коэффициенты  $K_x$ ,  $K'_\alpha$ ,  $K'_\epsilon$ ,  $K_{\alpha x}$ ,  $K_{x\epsilon}$ , а также большинство коэффициентов угловых аберраций выражаются через тригонометрические функции углов входа пучка в поле и выхода из него.

$$K_x = \frac{\cos \vartheta_1}{\cos \vartheta_0}, \quad K'_\alpha = \frac{\operatorname{tg} \vartheta_1}{\operatorname{tg} \vartheta_0}, \quad K'_x = 0, \quad K'_\epsilon = \frac{1}{2} \left( 1 - \frac{\varphi_0}{\varphi_1} \right) \operatorname{tg} \vartheta_1,$$

$$K_{\alpha x} = \frac{\cos \vartheta_1}{\sin \vartheta_0} (\operatorname{tg}^2 \vartheta_0 - \operatorname{tg}^2 \vartheta_1), \quad K_{x\epsilon} = -\frac{\sin \vartheta_1}{\cos \vartheta_0} K'_\epsilon,$$

$$K'_{\alpha\alpha} = \frac{1}{2} \left( \frac{\operatorname{tg}^2 \vartheta_1}{\operatorname{tg}^2 \vartheta_0} - 1 \right) \operatorname{tg} \vartheta_1, \quad K'_{\alpha x} = 0, \quad K'_{\alpha\epsilon} = \frac{K'_\epsilon \operatorname{ctg} \vartheta_0}{\cos^2 \vartheta_1},$$

$$K'_{x\epsilon} = 0, \quad K'_{\epsilon\epsilon} = \frac{1}{4} K'_\epsilon \left( 2K'_\epsilon \operatorname{tg} \vartheta_1 - 3\frac{\varphi_0}{\varphi_1} - 1 \right). \quad (11)$$

Известно также, что

$$K_\epsilon = \frac{1}{2} \left( \frac{b \cos \vartheta_1}{\sin^2 \vartheta_0} - K_\alpha \operatorname{ctg} \vartheta_0 \right). \quad (12)$$

В плоскости гауссова изображения  $s = s_1$ , положение которой определяется условием  $K_\alpha(s_1) = 0$ ,

$$K_\epsilon = \frac{1}{2} \frac{b_1 \cos \vartheta_1}{\sin^2 \vartheta_0}, \quad (13)$$

где  $b_1 = b(s_1) = Y(s_1) - Y_0$ .

В этой плоскости коэффициенты пространственных хроматических аберраций  $K_{\alpha\epsilon}$ ,  $K_{\epsilon\epsilon}$  и коэффициент сферической аберрации  $K_{\alpha\alpha}$  связаны между собой соотношениями

$$K_{\alpha\epsilon} = - \left[ K_{\alpha\alpha} + K_\epsilon (2 + \operatorname{tg}^2 \vartheta_1) \right] \operatorname{ctg} \vartheta_0,$$

$$K_{\epsilon\epsilon} = \frac{1}{4} \left[ K_{\alpha\alpha} + K_\epsilon (3 - \operatorname{tg}^2 \vartheta_0) \right] \operatorname{ctg}^2 \vartheta_0 - K_\epsilon K'_\epsilon \operatorname{tg} \vartheta_1. \quad (14)$$

Можно показать, что в двумерном электростатическом поле смещение предметной плоскости вдоль осевой траектории на  $L_0$  приводит к перемещению плоскости изображения  $s = s_1$  на  $L_1$

$$L_1 \operatorname{tg} \vartheta_1 \cos \vartheta_0 = L_0 \operatorname{tg} \vartheta_0 \cos \vartheta_1.$$

Соответственно изменение координат  $X_0$  и  $Y_0$  на  $\Delta X_0$  и  $\Delta Y_0$  сопровождается изменением координат  $X$  и  $Y$  в плоскости изображения на  $\Delta X_1$  и  $\Delta Y_1$

$$\begin{aligned} \Delta X_1 &= \Delta X_0 \frac{\operatorname{tg} \vartheta_0 \cos^2 \vartheta_1}{\operatorname{tg} \vartheta_1 \cos^2 \vartheta_0}, \\ \Delta Y_1 &= \Delta Y_0 \frac{\cos^2 \vartheta_1}{\cos^2 \vartheta_0}. \end{aligned} \quad (15)$$

В системах с  $\varphi_1 = \varphi_0$   $L_1 = L_0$ ,  $\Delta Y_1 = \Delta Y_0$ , т.е.  $b_1$  не зависит от положения предметной плоскости. При отсутствии отражений пучка в системе ( $\cos \vartheta$  нигде не обращается в нуль) или при четном их числе  $\vartheta_1 = \vartheta_0$ ,  $\Delta X_1 = \Delta X_0$ . В системе с нечетным числом отражений  $\vartheta_1 = \pi - \vartheta_0$ ,  $\Delta X_1 = -\Delta X_0$ . При  $\varphi_1 = \varphi_0$  коэффициенты  $K'_\epsilon$ ,  $K'_x$ ,  $K'_{\alpha x}$ ,  $K_{x\epsilon}$ ,  $K'_{\alpha\alpha}$ ,  $K'_{\alpha x}$ ,  $K'_{\alpha\epsilon}$ ,  $K'_{x\epsilon}$ ,  $K'_{\epsilon\epsilon}$  равны нулю

$$K_x = K'_\alpha = (-1)^m, m = 0, 1, 2, \dots,$$

где  $m$  — число отражений.

Линейная дисперсия по энергии  $K_\epsilon$  и абберационные коэффициенты  $K_{\alpha\alpha}$ ,  $K_{\alpha\epsilon}$ ,  $K_{\epsilon\epsilon}$  в пространстве изображений постоянны. Соотношения (13) и (14) при  $\varphi_1 = \varphi_0$  принимают вид

$$K_\epsilon = \frac{1}{2} \frac{(-1)^m b_1 \cos \vartheta_0}{\sin^2 \vartheta_0}, \quad (13a)$$

$$K_{\alpha\epsilon} = - \left[ K_{\alpha\alpha} + K_\epsilon (2 + \operatorname{tg}^2 \vartheta_0) \right] \operatorname{ctg} \vartheta_0,$$

$$K_{\epsilon\epsilon} = \frac{1}{4} \left[ K_{\alpha\alpha} + K_\epsilon (3 - \operatorname{tg}^2 \vartheta_0) \right] \operatorname{ctg}^2 \vartheta_0 \quad (14a)$$

и выполняются в любой плоскости пространства изображений.

Возвращаясь к коэффициентам разложения (10) и используя равенства (11) и (12), найдем, что в общем случае в пространстве изображений

$$\tau_\alpha = -b_1 \operatorname{ctg} \vartheta_0, \quad \tau_x = \left( 1 - \frac{\varphi_0}{\varphi_1} \right) \sin \vartheta_0 \operatorname{tg} \vartheta_0,$$

$$\tau_\epsilon = \frac{b_1 \cos^2 \vartheta_0 - b \sin^2 \vartheta_1}{2 \sin^2 \vartheta_0},$$

$$\tau_{\alpha x} = \tau_x \operatorname{tg} \vartheta_0, \quad \tau_{x\epsilon} = -\frac{1}{2} \tau_x \left( 1 + \frac{\varphi_0}{\varphi_1} \right). \quad (16)$$

Из записанных выше равенств видно, что коэффициенты  $\tau_\alpha$ ,  $\tau_x$ ,  $\tau_{\alpha x}$ ,  $\tau_{x\epsilon}$ ,  $\tau_{\alpha\gamma}$  и  $\tau_{x\gamma}$  в пространстве изображений постоянны. Коэффициент

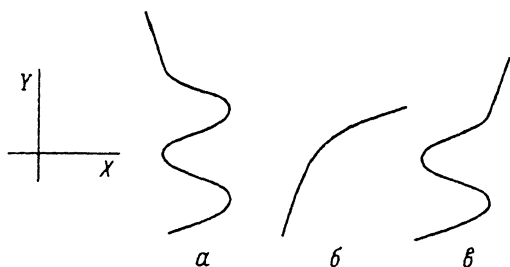


Рис. 2.

$\tau_\alpha = 0$  в любой плоскости этого пространства, если  $b_1 = 0$ . Однако, очевидно, что в этом случае пространственная фокусировка по углу расходимости пучка в средней плоскости (по  $x'_0$ ) осуществляется только, если предмет, либо изображение, либо оба они мнимые. Поэтому для действительных предмета и изображения совместить плоскости, где достигаются времяпролетная и пространственная фокусировки по  $x'_0$ , невозможно. Коэффициенты  $\tau_x$ ,  $\tau_{\alpha x}$ ,  $\tau_{x\varepsilon}$  и  $\tau_{x\gamma}$  равны нулю в любой плоскости пространства изображений, если потенциалы предметного пространства и пространства изображений совпадают  $\varphi_1 = \varphi_0$ . Это может быть одиночная система без отражений ( $\vartheta_1 = \vartheta_0$ ), система с четным числом отражений ( $\vartheta_1 = \vartheta_0$ ) или нечетным их числом ( $\vartheta_1 = \pi - \vartheta_0$ ). В пространстве изображений любой системы с двумерным электростатическим полем как при  $\varphi_1 = \varphi_0$ , так и при  $\varphi_1 \neq \varphi_0$  всегда можно найти плоскость, где происходит времяпролетная фокусировка первого порядка по энергии  $\tau_\varepsilon = 0$ . Для нее

$$b = b_\varepsilon = b_1 \frac{\cos^2 \vartheta_0}{\sin^2 \vartheta_1}. \quad (17)$$

Эта плоскость совпадает с плоскостью гауссова изображения, если  $\vartheta_1 = (\pi/2) \pm \vartheta_0$  (для определенности считается, что  $0 < \vartheta_0 < \pi/2$ ) либо  $b_1 = 0$ . Условие  $\vartheta_1 = (\pi/2) + \vartheta_0$  соответствует системе с нечетным числом отражений,  $\vartheta_1 = (\pi/2) - \vartheta_0$  — системе без отражений или с четным их числом. В первом случае угол отклонения пучка  $\omega = \vartheta_1 - \vartheta_0 = \pi/2$ , во втором и третьем  $\omega = (\pi/2) - 2\vartheta_0$ . На рис. 2 даны примеры хода осевой траектории в таких системах. Очевидно, что в случаях 2, а и в поле в целом недвумерно. Рис. 2, б соответствует двумерному полю в целом. Однако существуют системы, в которых влияние  $Y$ -составляющей поля на ход траектории в каждой ее точке пренебрежимо мало. О них и идет речь. Отметим также, что если  $\varphi_1 = \varphi_0$  и  $b_1 \neq 0$ , то  $\tau_\varepsilon(s_1) = 0$  только при  $\vartheta_0 = \pi/4$ .

Запишем коэффициенты разложения (10), изменяющиеся в пространстве изображений, в плоскости  $s = s_1$ . Используя соотношения (13) и (14), получим

$$\tau_\varepsilon = \frac{1}{2} b_1 \frac{\cos^2 \vartheta_0 - \sin^2 \vartheta_1}{\sin^2 \vartheta_0} = \frac{1}{2} b_1 \left( \operatorname{ctg}^2 \vartheta_0 - \frac{\varphi_0}{\varphi_1} \right),$$

$$\tau_\gamma = \frac{1}{2} b_1, \quad \tau_{\alpha\alpha} = \frac{1}{2} b_1 (1 + 2 \operatorname{ctg}^2 \vartheta_0) + K_{\alpha\alpha} \cos \vartheta_1,$$

$$\tau_{\beta\beta} = \frac{1}{2}b_1 + K_{\beta\beta} \cos \vartheta_1, \quad \tau_{\beta\gamma} = K_{\beta\gamma} \cos \vartheta_1, \quad \tau_{\gamma\gamma} = K_{\gamma\gamma} \cos \vartheta_1,$$

$$\tau_{\alpha\varepsilon} = - \left[ \frac{1}{2}b_1 \left( 1 - \frac{\varphi_0}{\varphi_1} \right) + \tau_\varepsilon + \tau_{\alpha\alpha} \right] \operatorname{ctg} \vartheta_0,$$

$$\tau_{\varepsilon\varepsilon} = \frac{1}{4} \left[ \tau_\varepsilon \left( \operatorname{ctg}^2 \vartheta_0 - 2 \frac{\varphi_0}{\varphi_1} - 1 \right) + \tau_{\alpha\alpha} \operatorname{ctg}^2 \vartheta_0 \right],$$

$$\tau_{\varepsilon\gamma} = \frac{1}{2}\tau_\varepsilon, \quad \tau_{\gamma\gamma} = -\frac{1}{8}b_1. \quad (18)$$

В системе с  $\varphi_1 = \varphi_0$  эти коэффициенты принимают вид

$$\tau_\varepsilon = \frac{1}{2}b_1(\operatorname{ctg}^2 \vartheta_0 - 1), \quad \tau_\gamma = \frac{1}{2}b_1,$$

$$\tau_{\alpha\alpha} = \frac{1}{2}b_1(1 + 2 \operatorname{ctg}^2 \vartheta_0) + (-1)^m K_{\alpha\alpha} \cos \vartheta_0,$$

$$\tau_{\beta\beta} = \frac{1}{2}b_1 + (-1)^m K_{\beta\beta} \cos \vartheta_0, \quad \tau_{\beta\gamma} = (-1)^m K_{\beta\gamma} \cos \vartheta_0,$$

$$\tau_{\gamma\gamma} = (-1)^m K_{\gamma\gamma} \cos \vartheta_0, \quad \tau_{\alpha\varepsilon} = -(\tau_\varepsilon + \tau_{\alpha\alpha}) \operatorname{ctg} \vartheta_0,$$

$$\tau_{\varepsilon\varepsilon} = \frac{1}{4} \left[ \tau_\varepsilon (\operatorname{ctg}^2 \vartheta_0 - 3) + \tau_{\alpha\alpha} \operatorname{ctg}^2 \vartheta_0 \right],$$

$$\tau_{\varepsilon\gamma} = \frac{1}{2}\tau_\varepsilon, \quad \tau_{\gamma\gamma} = -\frac{1}{8}b_1. \quad (18a)$$

Из последних равенств, в частности, следует, что если в плоскости  $s = s_1$  выполняются условия  $\tau_\varepsilon = 0$  и  $\tau_{\varepsilon\varepsilon} = 0$ , то  $\tau_{\alpha\alpha}$ ,  $\tau_{\alpha\varepsilon}$  также обращаются в нуль.

Предположим теперь, что предметная плоскость и плоскость, до которой определяется время пролета, параллельны координатной плоскости  $YZ$ . Очевидно, что в этом случае  $t - t_0$  не будет зависеть от ширины предмета (размера в направлении оси  $Y$ ). Кроме того, будут отсутствовать и пространственные абберации, связанные с этим размером. При таком расположении указанных плоскостей

$$t - t_0 = T + \frac{1}{v_0 \sin \vartheta_0} (\bar{\tau}_\alpha x'_0 + \bar{\tau}_\varepsilon \varepsilon_0 + \bar{\tau}_\gamma \gamma + \bar{\tau}_{\alpha\alpha} x_0'^2 + \bar{\tau}_{\beta\beta} y_0'^2 + \bar{\tau}_{\beta\gamma} y'_0 y_0 + \bar{\tau}_{\gamma\gamma} y_0'^2 + \bar{\tau}_{\alpha\varepsilon} x'_0 \varepsilon_0 + \bar{\tau}_{\varepsilon\varepsilon} \varepsilon_0^2 + \bar{\tau}_{\varepsilon\gamma} \varepsilon_0 \gamma + \bar{\tau}_{\gamma\gamma} \gamma^2 + \dots).$$

Используя соотношения (4), (8), (10), (12) и выполняя необходимые преобразования, найдем выражения для времяпролетных коэффициентов в пространстве изображений. Из-за условий симметрии достаточно рассмотреть бесконечно узкий в  $Y$ -направлении предмет

$$\bar{\tau}_\alpha = \tau_\alpha + K_\alpha \sin \vartheta_1 \operatorname{tg} \vartheta_1 = -b \operatorname{ctg} \vartheta_0 + \frac{K_\alpha}{\cos \vartheta_1},$$

$$\bar{\tau}_\varepsilon = \tau_\varepsilon + K_\varepsilon \sin \vartheta_1 \operatorname{tg} \vartheta_1 = -\frac{1}{2}b + \frac{K_\varepsilon}{\cos \vartheta_1} = -\frac{1}{2}\bar{\tau}_\alpha \operatorname{ctg} \vartheta_0,$$

$$\bar{\tau}_\gamma = \tau_\gamma = \frac{1}{2}b,$$

$$\begin{aligned} \bar{\tau}_{\alpha\alpha} &= \tau_{\alpha\alpha} + (K_{\alpha\alpha} + K_\alpha K'_\alpha \operatorname{tg} \vartheta_1) \sin \vartheta_1 \operatorname{tg} \vartheta_1 = \\ &= \frac{1}{2}b(1 + 2 \operatorname{ctg}^2 \vartheta_0 \operatorname{tg}^2 \vartheta_1) + \bar{\tau}_\alpha (\operatorname{tg}^2 \vartheta_1 - 1) \operatorname{ctg} \vartheta_0 + \frac{K_{\alpha\alpha}}{\cos \vartheta_1}, \end{aligned}$$

$$\bar{\tau}_{\beta\beta} = \tau_{\beta\beta} + K_{\beta\beta} \sin \vartheta_1 \operatorname{tg} \vartheta_1 = \frac{1}{2}b + \frac{K_{\beta\beta}}{\cos \vartheta_1},$$

$$\bar{\tau}_{\beta\gamma} = \tau_{\beta\gamma} + K_{\beta\gamma} \sin \vartheta_1 \operatorname{tg} \vartheta_1 = \frac{K_{\beta\gamma}}{\cos \vartheta_1},$$

$$\bar{\tau}_{\gamma\gamma} = \tau_{\gamma\gamma} + K_{\gamma\gamma} \sin \vartheta_1 \operatorname{tg} \vartheta_1 = \frac{K_{\gamma\gamma}}{\cos \vartheta_1},$$

$$\bar{\tau}_{\alpha\varepsilon} = \tau_{\alpha\varepsilon} + \left[ (K_\alpha K'_\varepsilon + K_\varepsilon K'_\alpha) \operatorname{tg} \vartheta_1 - \frac{\varphi_0}{2\varphi_1} K_\alpha + K_{\alpha\varepsilon} \right] \sin \vartheta_1 \operatorname{tg} \vartheta_1 =$$

$$= -\frac{1}{2}b \operatorname{ctg} \vartheta_0 \left[ 1 - \operatorname{tg}^2 \vartheta_1 - \left( 1 - \frac{\varphi_0}{\varphi_1} \right) \operatorname{tg}^2 \vartheta_1 \right] -$$

$$-\bar{\tau}_\varepsilon \operatorname{ctg} \vartheta_0 \left[ 1 - \operatorname{tg}^2 \vartheta_0 - \operatorname{tg}^2 \vartheta_1 + \left( 1 - \frac{\varphi_0}{\varphi_1} \right) \operatorname{tg}^2 \vartheta_0 \operatorname{tg}^2 \vartheta_1 \right] + \frac{K_{\alpha\varepsilon}}{\cos \vartheta_1},$$

$$\bar{\tau}_{\varepsilon\varepsilon} = \tau_{\varepsilon\varepsilon} + \left( K_\varepsilon K'_\varepsilon \operatorname{tg} \vartheta_1 - \frac{\varphi_0}{2\varphi_1} K_\varepsilon + K_{\varepsilon\varepsilon} \right) \sin \vartheta_1 \operatorname{tg} \vartheta_1 =$$

$$= \frac{1}{8}b \left[ 1 + 2 \left( 1 - \frac{\varphi_0}{\varphi_1} \right) \operatorname{tg}^2 \vartheta_1 \right] - \frac{1}{2}\bar{\tau}_\varepsilon \left[ 1 - \left( 1 - \frac{\varphi_0}{\varphi_1} \right) \operatorname{tg}^2 \vartheta_1 \right] + \frac{K_{\varepsilon\varepsilon}}{\cos \vartheta_1},$$

$$\bar{\tau}_{\alpha\gamma} = \frac{1}{2}\bar{\tau}_\alpha, \quad \bar{\tau}_{\varepsilon\gamma} = \frac{1}{2}\bar{\tau}_\varepsilon, \quad \bar{\tau}_{\gamma\gamma} = \tau_{\gamma\gamma} = -\frac{1}{8}b. \quad (19)$$

В этом случае времяпролетная фокусировка первого порядка по  $\varepsilon_0$  и  $x'_0$  достигается в одной и той же плоскости, для которой

$$b = \bar{b}_\varepsilon = 2 \frac{K_\varepsilon}{\cos \vartheta_1} = \frac{\operatorname{tg} \vartheta_0}{\cos \vartheta_1} K_\alpha. \quad (20)$$

Из последнего соотношения следует, что при действительных предмете и изображении плоскость с  $b = \bar{b}_\varepsilon$  не может быть совмещена с плоскостью гауссова изображения. Обозначив через  $\bar{l}_\varepsilon$  расстояние вдоль осевой траектории от плоскости гауссова изображения до плоскости с  $b = \bar{b}_\varepsilon$ , из равенства (20) найдем, что

$$\bar{b}_\varepsilon = b_1 + \bar{l}_\varepsilon \sin \vartheta_1 = \frac{\operatorname{tg} \vartheta_1}{\cos \vartheta_1} \bar{l}_\varepsilon. \quad (21)$$



Следовательно,

$$b_1 = \bar{b}_\varepsilon \sin^2 \vartheta_1. \quad (22)$$

Используя соотношения (11) и (14), можно показать, что между коэффициентами  $\bar{\tau}_\varepsilon$ ,  $\bar{\tau}_{\alpha\alpha}$ ,  $\bar{\tau}_{\alpha\varepsilon}$  и  $\bar{\tau}_{\varepsilon\varepsilon}$  существуют следующие связи:

$$\begin{aligned} \bar{\tau}_{\alpha\varepsilon} &= -\operatorname{ctg} \vartheta_0 [\bar{\tau}_\varepsilon (1 + \operatorname{tg}^2 \vartheta_0) + \bar{\tau}_{\alpha\alpha}], \\ \bar{\tau}_{\varepsilon\varepsilon} &= \frac{1}{4} \operatorname{ctg}^2 \vartheta_0 [\bar{\tau}_\varepsilon (1 - \operatorname{tg}^2 \vartheta_0) + \bar{\tau}_{\alpha\alpha}]. \end{aligned} \quad (23)$$

Если в плоскости, для которой  $\bar{\tau}_\varepsilon = \bar{\tau}_\alpha = 0$ , выполняется условие

$$K_{\alpha\alpha} = -\frac{1}{2} \bar{b}_\varepsilon (1 + 2 \operatorname{ctg}^2 \vartheta_0 \operatorname{tg}^2 \vartheta_1) \cos \vartheta_1, \quad (24)$$

то в этой плоскости коэффициенты  $\bar{\tau}_{\alpha\alpha}$ ,  $\bar{\tau}_{\alpha\varepsilon}$  и  $\bar{\tau}_{\varepsilon\varepsilon}$  обращаются в нуль и обеспечивается времяпрелетная фокусировка второго порядка по  $x'_0$  и  $\varepsilon_0$ .

В системе с  $\varphi_1 = \varphi_0$  коэффициенты разложения (19) принимают вид

$$\begin{aligned} \bar{\tau}_\alpha &= -b \operatorname{ctg} \vartheta_0 + \frac{(-1)^m K_\alpha}{\cos \vartheta_0} = -2\bar{\tau}_\varepsilon \operatorname{tg} \vartheta_0, \\ \bar{\tau}_\varepsilon &= -\frac{1}{2} b + \frac{(-1)^m K_\varepsilon}{\cos \vartheta_0}, \quad \bar{\tau}_\gamma = \frac{1}{2} b, \\ \bar{\tau}_{\alpha\alpha} &= \frac{3}{2} b + 2\bar{\tau}_\varepsilon (1 - \operatorname{tg}^2 \vartheta_0) + \frac{(-1)^m K_{\alpha\alpha}}{\cos \vartheta_0}, \\ \bar{\tau}_{\beta\beta} &= \frac{1}{2} b + \frac{(-1)^m K_{\beta\beta}}{\cos \vartheta_0}, \quad \bar{\tau}_{\beta y} = \frac{(-1)^m K_{\beta y}}{\cos \vartheta_0}, \quad \bar{\tau}_{yy} = \frac{(-1)^m K_{yy}}{\cos \vartheta_0}, \\ \bar{\tau}_{\alpha\varepsilon} &= \frac{1}{2} b (\operatorname{tg} \vartheta_0 - \operatorname{ctg} \vartheta_0) + \bar{\tau}_\varepsilon (2 \operatorname{tg} \vartheta_0 - \operatorname{ctg} \vartheta_0) + \frac{(-1)^m K_{\alpha\varepsilon}}{\cos \vartheta_0} = \\ &= -\operatorname{ctg} \vartheta_0 [\bar{\tau}_\varepsilon (1 + \operatorname{tg}^2 \vartheta_0) + \bar{\tau}_{\alpha\alpha}], \\ \bar{\tau}_{\varepsilon\varepsilon} &= \frac{1}{8} b - \frac{1}{2} \bar{\tau}_\varepsilon + \frac{(-1)^m K_{\varepsilon\varepsilon}}{\cos \vartheta_0} = \frac{1}{4} \operatorname{ctg}^2 \vartheta_0 [\bar{\tau}_\varepsilon (1 - \operatorname{tg}^2 \vartheta_0) + \bar{\tau}_{\alpha\alpha}], \\ \bar{\tau}_{\alpha\gamma} &= \frac{1}{2} \bar{\tau}_\alpha, \quad \bar{\tau}_{\varepsilon\gamma} = \frac{1}{2} \bar{\tau}_\varepsilon, \quad \bar{\tau}_{\gamma\gamma} = -\frac{1}{8} b. \end{aligned} \quad (19a)$$

Здесь  $m = 0, 1, 2, \dots$ , по-прежнему обозначает число отражений, испытываемых пучком в двумерном поле. Времяпрелетная фокусировка второго порядка по  $\varepsilon_0$  и  $x'_0$  в этом случае достигается в плоскости, для которой

$$b = \bar{b}_\varepsilon = 2 \frac{(-1)^m K_\varepsilon}{\cos \vartheta_0}, \quad (20a)$$

если

$$K_{\alpha\alpha} = -\frac{3}{2} \bar{b}_\varepsilon (-1)^m \cos \vartheta_0 = -3K_\varepsilon. \quad (24a)$$

Отметим, что ранее в работе [5] было показано, что в системе с двумерным электростатическим полем коэффициенты, аналогичные  $\bar{\tau}_\alpha$  и  $\bar{\tau}_\epsilon$ , обращаются в нуль в одной и той же плоскости, которая никогда не может быть плоскостью гауссова изображения. Найдены были также соотношения между коэффициентами, аналогичными  $\bar{\tau}_\epsilon$ ,  $\bar{\tau}_{\alpha\alpha}$ ,  $\bar{\tau}_{\alpha\epsilon}$  и  $\bar{\tau}_{\epsilon\epsilon}$ . Приведенные в названной работе формулы для времяпролетных коэффициентов являются более сложными и, кроме того, не дают представления о связи между пространственными и времяпролетными aberrациями.

Во второй части данной работы мы проанализируем полученные результаты с точки зрения применимости систем с двумерным электростатическим полем для масс- или энергоанализа заряженных частиц. Обсудим возможности таких систем и присущие им принципиальные ограничения.

### Список литературы

- [1] *Wollnik H.* // Nucl. Instr. and Meth. in Phys. Res. 1990. Vol. A298. P. 156–160.
- [2] *Кельман В.М., Карецкая С.П., Федулina Л.В., Якушев Е.М.* Электронно-оптические элементы призмных спектрометров заряженных частиц. Алма-Ата, 1979. 232 с.
- [3] *Карецкая С.П., Сайченко Н.Ю.* // Тез. докл. X Всесоюз. семинара по методам расчета ЭОС. Львов, 1990. С. 69.
- [4] *Гликман Л.Г., Голоскоков Ю.В.* // Научное приборостроение. 1991. № 2. С. 99–104.
- [5] *Асанов Ж., Бимурзаев С., Сапаргалиев А.* // Изв. АН КазССР. Сер. физ.-мат. 1983. № 2. С. 24–28.